

6 - 9 中国・四国地方の地殻変動

Crustal Movement in the Chugoku and Shikoku Districts

国土地理院

Geographical Survey Institute

第1図～第7図は中国地方における第2回目の一次網測量の結果である。

第1図は中国地方東部の測量結果で明治の結果との比較である。鳥取付近の大きな歪みは鳥取地震によるものである。他の地域には大きな歪みはない。第2図は一次網測量どうしの比較であるが、最近の6～7年間の歪みは測量誤差をうわまわるものではない。

第3図は島根・鳥取地方の水平歪みである。二子山周辺にやや大きな歪みがあるが、その他の地域の歪みは小さい。西の地域では東西方向の圧縮歪みがやや卓越している。第4図は最近の6年間の歪みであるが、大きな変動はない。第5図は鳥取震災復旧測量と一次網との比較である。

第6図、第7図は呉地方の測量結果である。第6図は明治との比較で、南の大きめの歪みは芸予地震（1905年、M 7.1）の影響と考えられる。第7図は最近の6年間の結果であるが、歪みは小さい。

第8図は中国地方の一等三角網による水平歪みで、これまでに報告したものをまとめたものである。

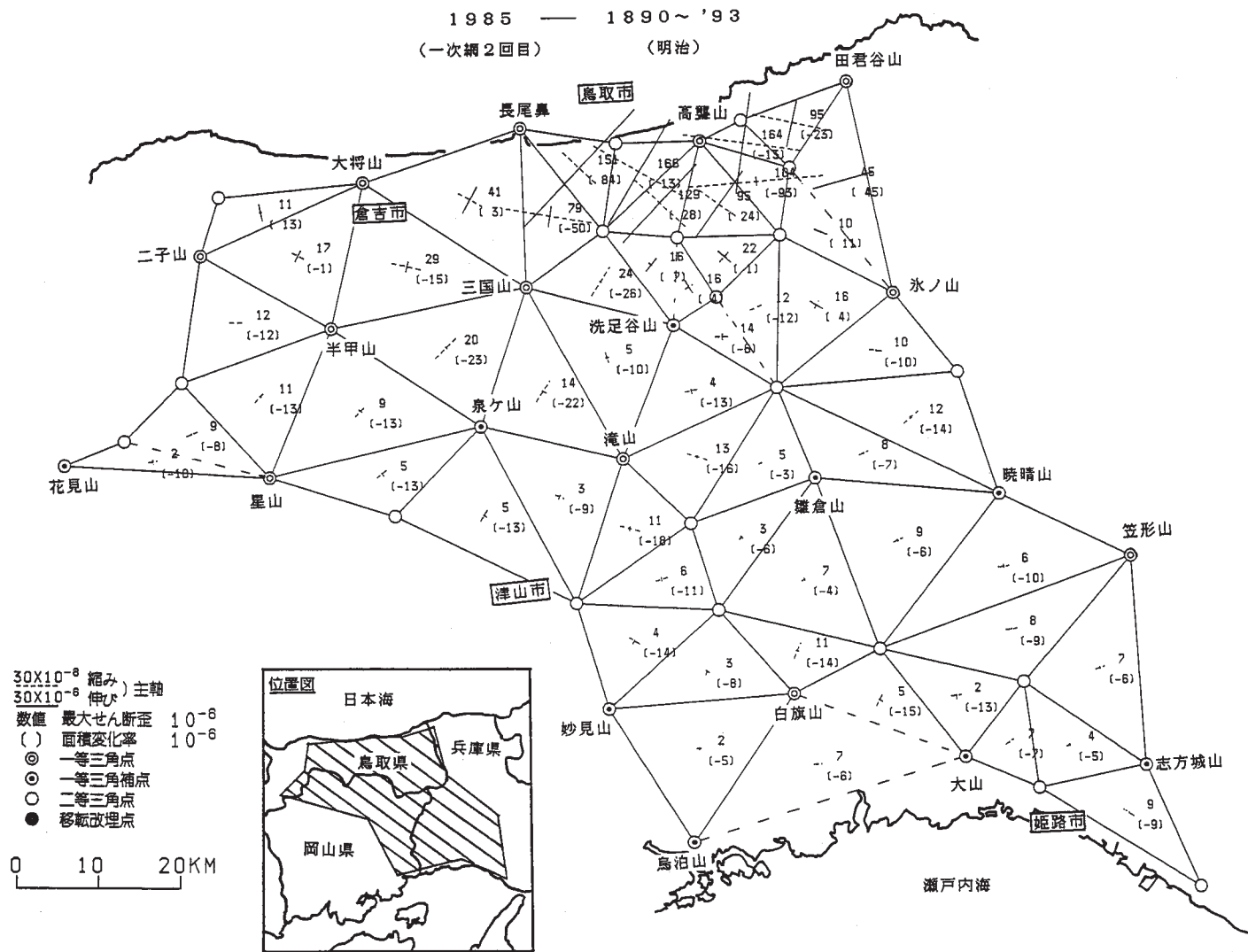
第9図は四国西部の八幡浜菱形基線測量の結果である。東西方向の圧縮歪みが卓越しているが、大きな変化はない。

参 考 文 献

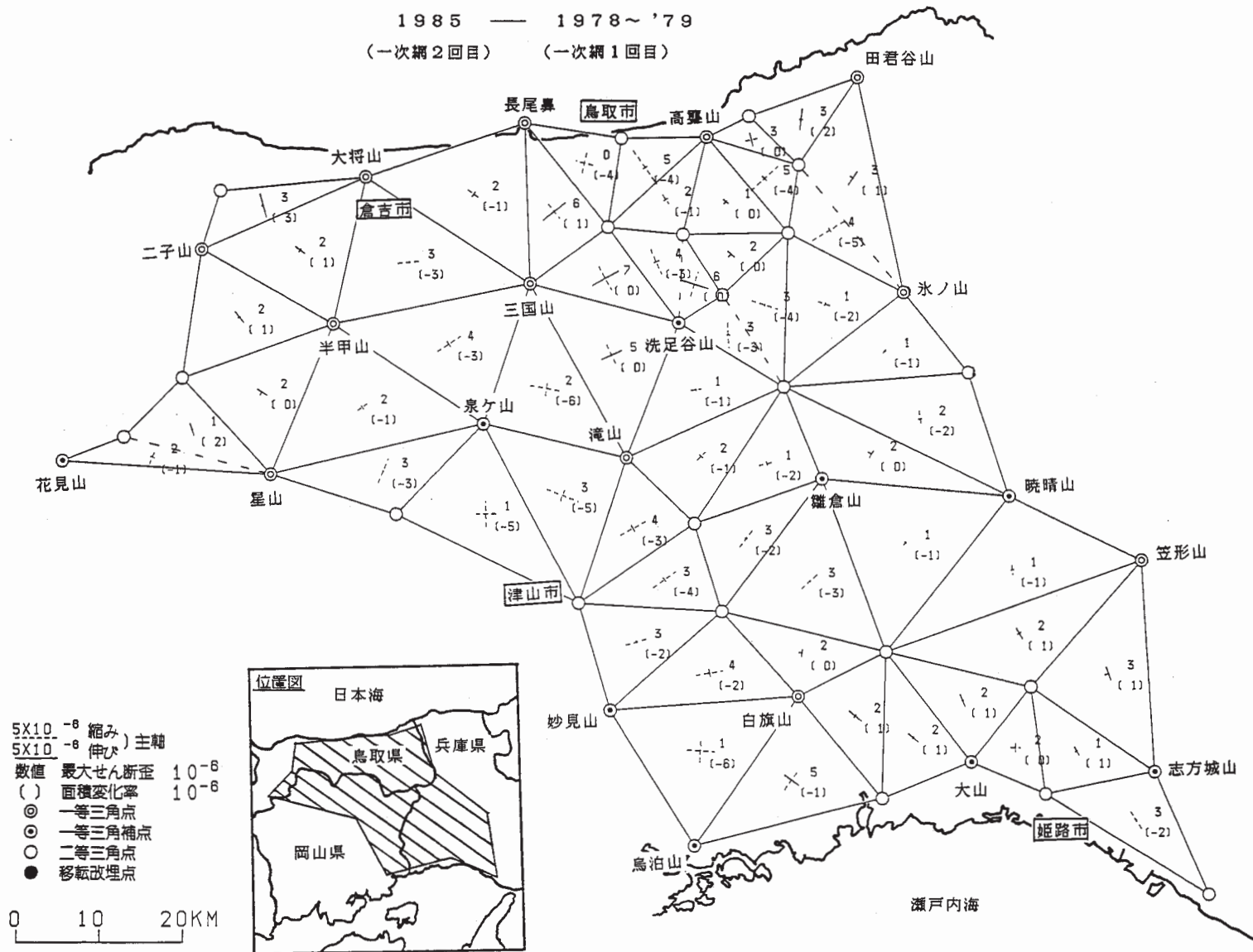
国土地理院測地部：中国地方東部の水平歪，連絡会報，**24**（1980），217 - 227。

国土地理院測地部：中国地方の水平歪，連絡会報，**26**（1981），274 - 281。

国土地理院地殻調査部：八幡浜菱形基線測量結果，連絡会報，**27**（1982），300 - 301。

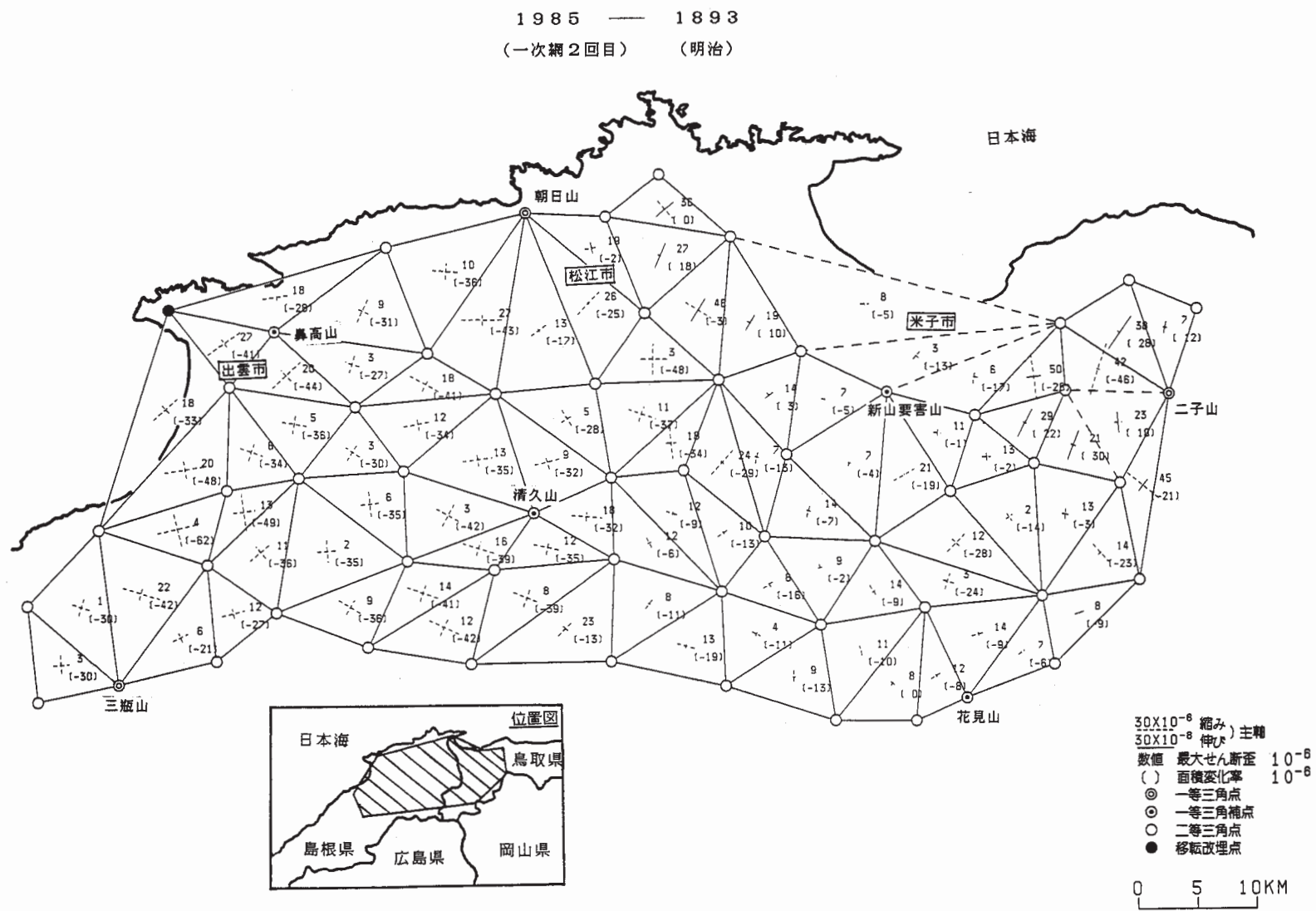


第1図 中国地方東部の水平歪 (1) (1885 - 1890 ~ 1893)
 Fig. 1 Horizontal strains in the Eastern Chugoku district (1). 1885 - 1890 ~ 1893.



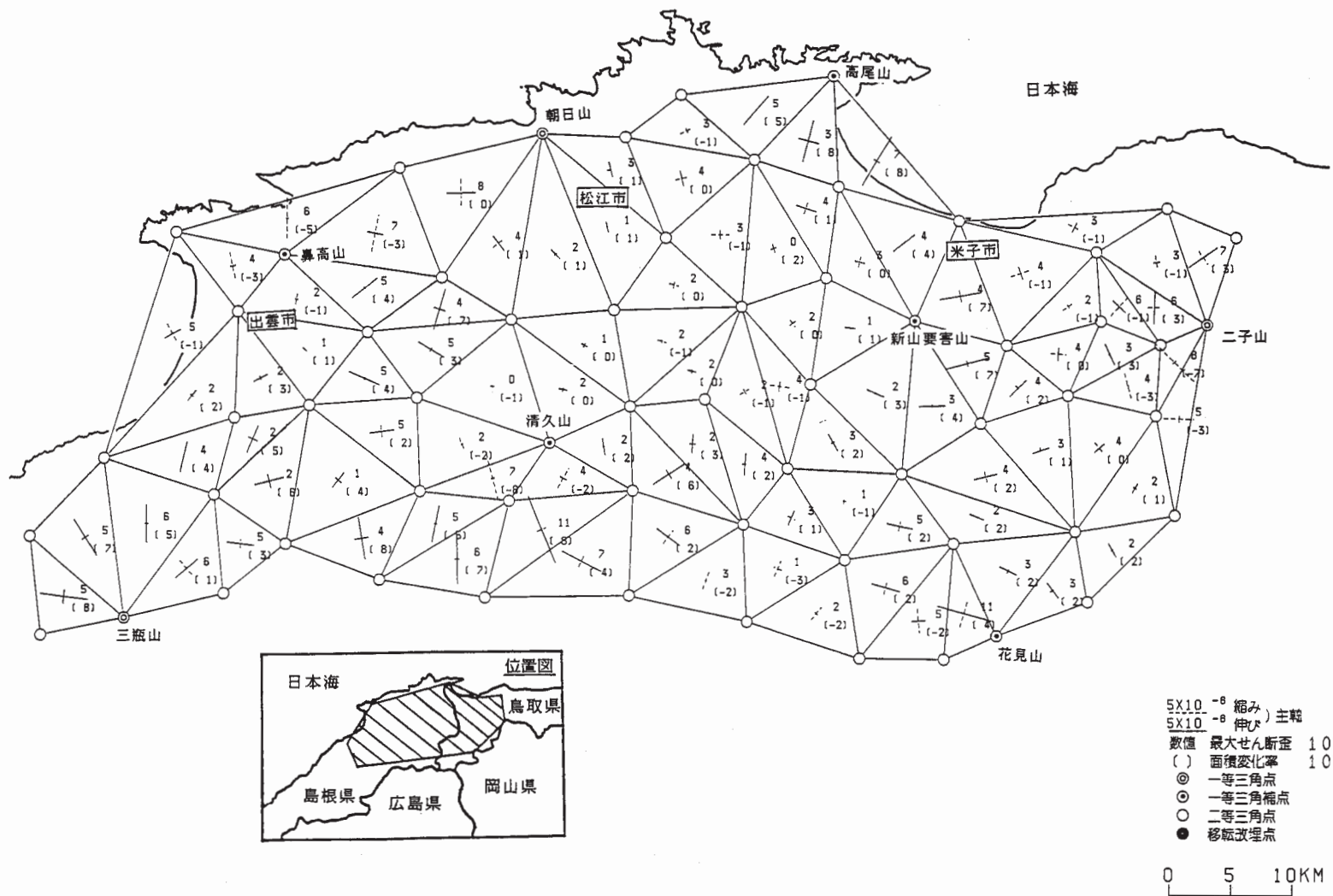
第2図 中国地方東部の水平歪 (2) (1985 - 1978 ~ 1979)

Fig. 2 Horizontal strains in the Eastern Chugoku district (2). 1985 - 1978 ~ 1979.



第3図 島根・鳥取地方の水平歪 (1) (1985 - 1993)
 Fig. 3 Horizontal strains in the Shimane and Tottori regions (1). 1985 - 1993.

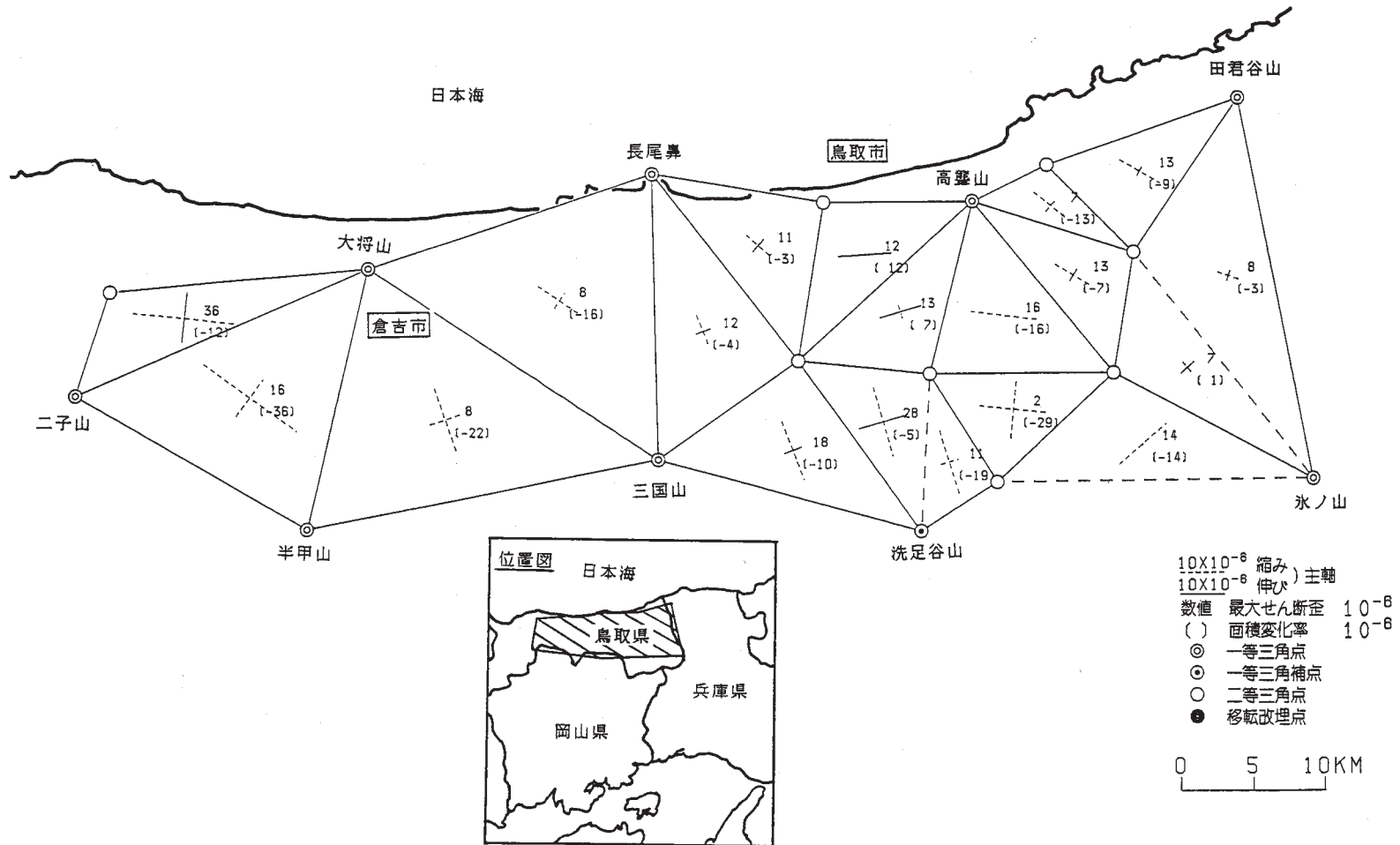
1985 — 1979
 (一次網2回目) (一次網1回目)



第4図 島根・鳥取地方の水平歪 (2) (1985 - 1979)

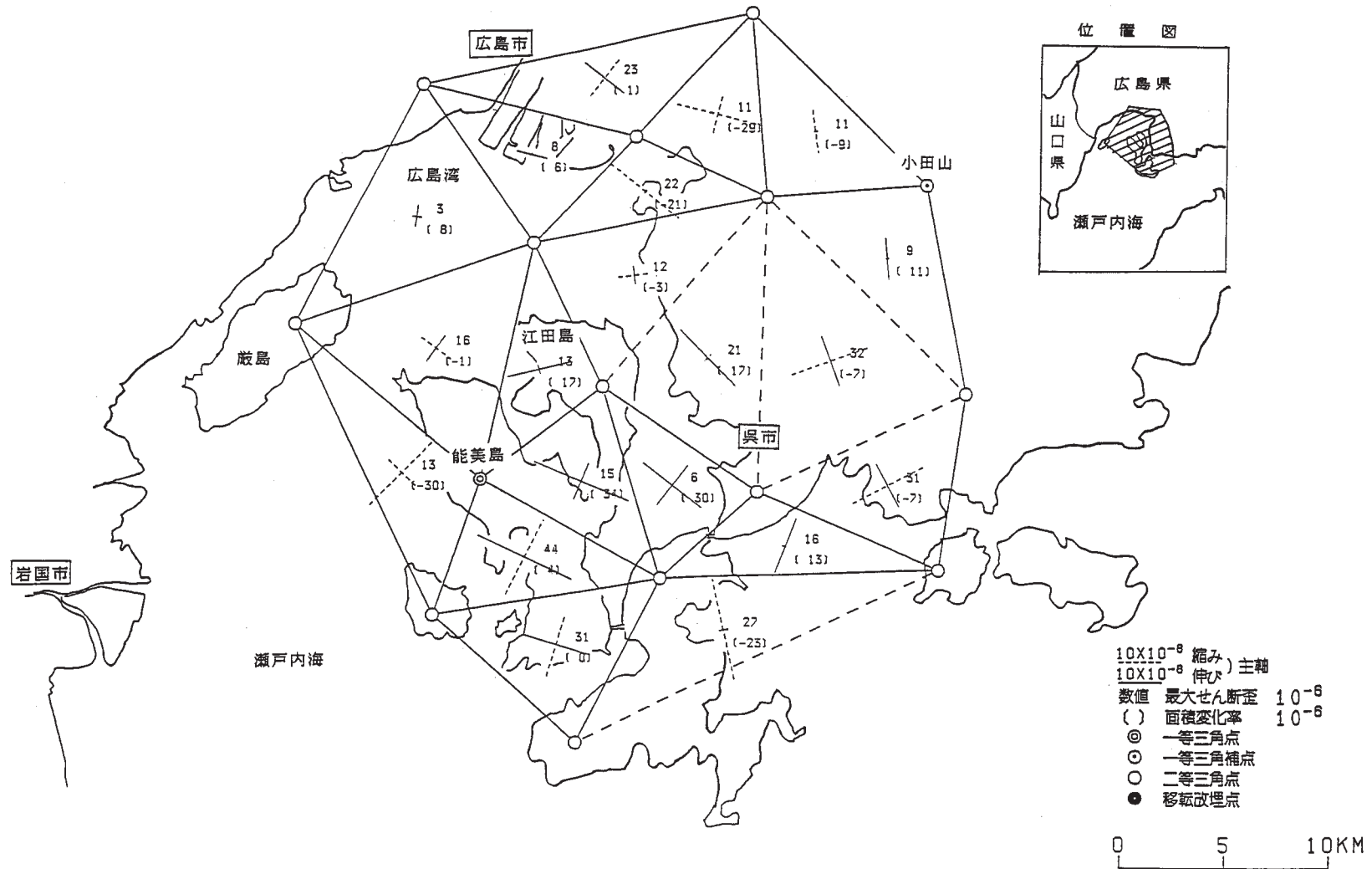
Fig. 4 Horizontal strains in the Shimane and Tottori regions (2). 1985 - 1979.

1985 — 1957~'58
 (一次網2回目) (鳥取震災改測)

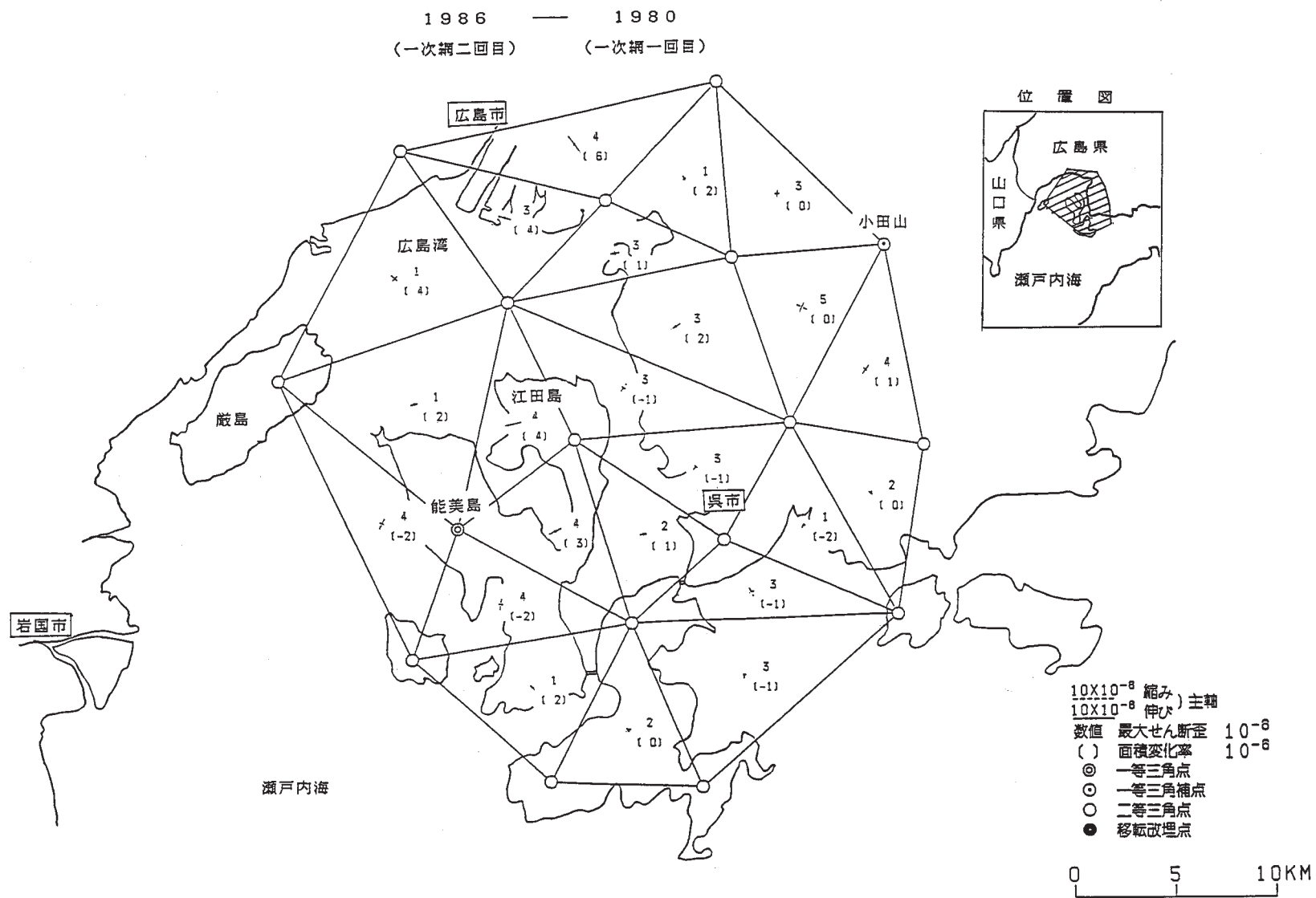


第5図 鳥取地方の水平歪 (1985 - 1957 ~ 1958)
 Fig. 5 Horizontal strains in the Tottori region. 1985 - 1957 ~ 1958.

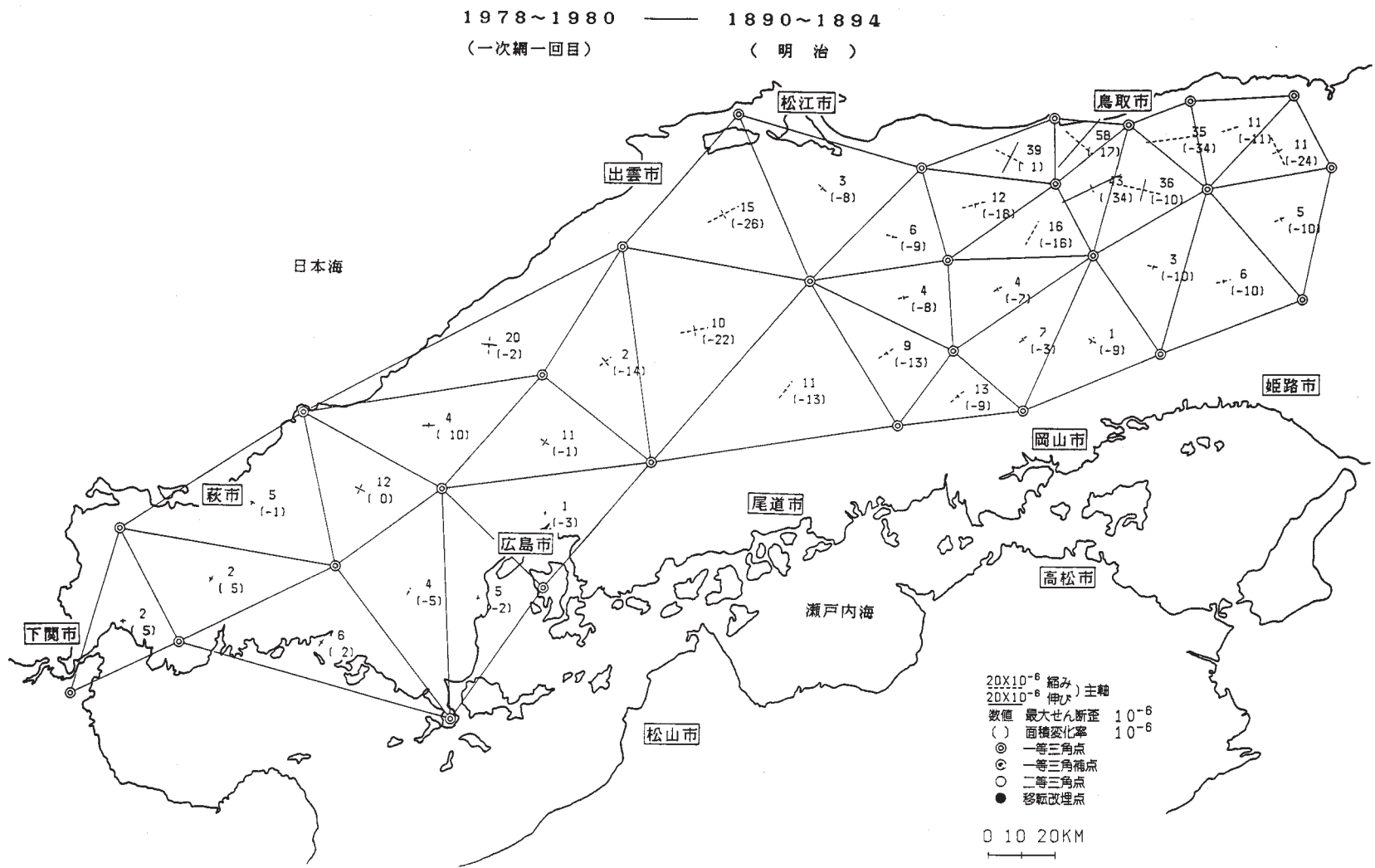
1986 — 1892
 (一次網二回目) (明治)



第6図 呉地方の水平歪 (1) (1986 - 1892)
 Fig. 6 Horizontal strains in the Kure region (1). 1986 - 1892.

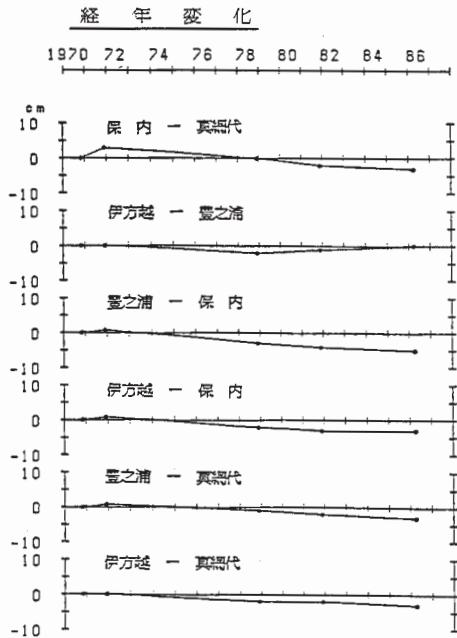


第7図 呉地方の水平歪 (2) (1986 - 1980)
 Fig. 7 Horizontal strains in the Kure region (2). 1986 - 1980.



第8図 中国地方の水平歪（一等三角網）（1978～1980 - 1890～1894）
 Fig. 8 Horizontal strains in the Chugoku district (First order triangulation net). 1978～1980 - 1890～1894.

測定年	1970.09	71.10	78.10	81.10	86.02
区 間					
保内 - 真網代	9052.24	.27	.24	.22	.21
伊方越 - 豊之浦	4997.18	.18	.16	.17	.18
豊之浦 - 保内	11143.51	.52	.48	.47	.46
伊方越 - 保内	7753.31	.32	.29	.28	.28
豊之浦 - 真網代	10666.16	.17	.15	.14	.13
伊方越 - 真網代	11451.34	.34	.32	.32	.31

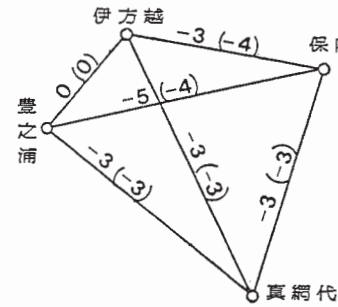


辺長変化

1986.2 - 1970.9

単位 cm

() $\Delta S/S$ 単位 10^{-6}



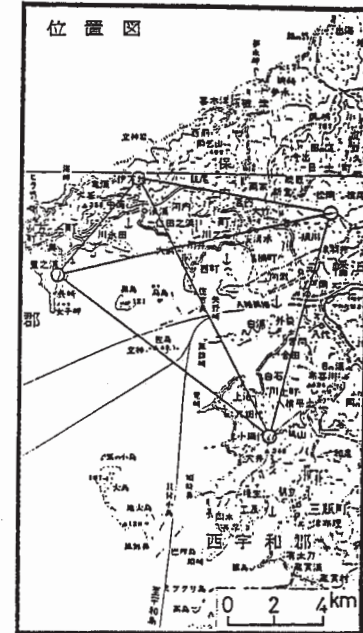
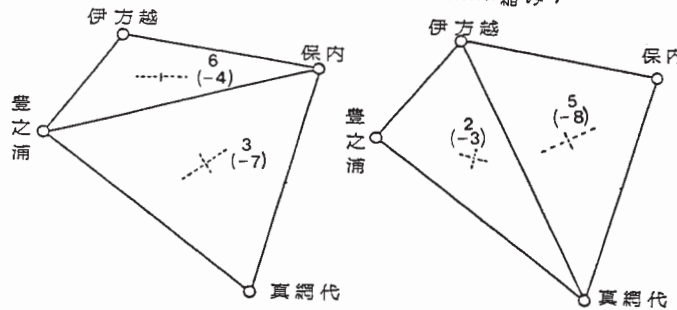
水 平 歪

1986.2 - 1970.9

数値 最大せん断歪 10^{-6}

() 面積変化率 10^{-6}

5×10^6 伸び () 縮み



第9図 八幡浜菱形基線測量結果

Fig. 9 Results of precise distance measurements of the Yawatahama Rhombus base lines.